—— СТРУКТУРА И СВОЙСТВА —

УДК 541.64:532.135:539.2

ВЗАИМОСВЯЗЬ МЕЖДУ РЕОЛОГИЧЕСКИМИ И МОЛЕКУЛЯРНО-СТРУКТУРНЫМИ ХАРАКТЕРИСТИКАМИ ПОЛИПРОПИЛЕНА

© 2022 г. И. С. Ларионов^а, Д. А. Балькаев^{а,b,*}, И. И. Салахов^c, А. В. Бадрутдинова^c, Р. Р. Амиров^b, Л. М. Амирова^a

 a Казанский национальный исследовательский технический университет им. А.Н. Туполева — КАИ 420111 Казань, ул. Карла Маркса, 10, Россия

^bКазанский федеральный университет 420008 Казань, ул. Кремлевская, 18, Россия

^сНаучно-технологический центр ПАО "Нижнекамскнефтехим" 423574 Нижнекамск, ул. Соболековская, 23, Россия

> *e-mail: dinar.balkaev@yandex.ru Поступила в редакцию 31.03.2022 г. После доработки 19.09.2022 г. Принята к публикации 03.10.2022 г.

Представлены результаты изучения вязкоупругих свойств полипропилена с различной текучестью расплава и содержанием этиленовых звеньев. С помощью реологических измерений в осциллирующем режиме собраны данные, необходимые для анализа взаимосвязи между молекулярно-массовыми характеристиками и вязкоупругими свойствами различных марок полипропилена; для их обработки применен принцип температурно-временной суперпозиции. Значения модулей накоплений и потерь сопоставлены со значениями ММ ряда гомо-, статистических и блок-сополимеров пропилена с этиленом, полученными методом ГПХ, благодаря этому выявлена взаимосвязь между реологическими кривыми и ММ. Полученные результаты исследования предназначены для наработки базы значений ММ полимеров, что в дальнейшем может способствовать разработке быстрого и точного метода определения молекулярной структуры полимеров, основанного на проведении реологических измерений.

DOI: 10.31857/S2308112022700249

ВВЕДЕНИЕ

Вопрос о роли структуры и молекулярно-массовых характеристик полимеров, в частности ПП, в реологии их расплавов обсуждается давно и активно [1, 2]. Однако однозначные методики определения молекулярно-массовых характеристик полимеров реологическим методом до настоящего времени отсутствуют. В последние годы большую популярность приобретают реологические исследования в режиме осцилляции, где по частотным зависимостям компонентов динамического модуля сдвига $G(\omega)$ и $G'(\omega)$ (ω — угловая частота) можно изучать молекулярно-массовые характеристики полимеров [3, 4], но однозначного ответа по их оценке в литературе до сих пор нет. Хотя в моделировании реологического поведения расплавов полимеров достигнуты значительные успехи [5, 6], существующие методы прогнозирования не получили большой популярности и распространения.

Хорошо известно, что реологические свойства расплавов полимеров коррелируют с молекулярной структурой, лежащей в их основе [5—8]. Такие молекулярно-массовые характеристики полимеров, как молекулярная масса, молекулярно-массовое распределение и тип разветвления оказывают значительное влияние на поведение высокомолекулярных соединений в различных условиях. Взаимосвязь отчетливо прослеживается в низкочастотном диапазоне и значительно ослабевает в области высоких частот.

Помимо фундаментального интереса к связи молекулярной архитектуры с реологией расплава полимера, в промышленной практике для этого есть особые причины, связанные с разработкой полимерного продукта. Например, ММР полимера играет важную роль в формировании свойств материала и, как следствие, значительно влияет на спектр его применения. Для регулирования ММР требуются надежные и точные средства мониторинга этой характеристики. Прямым

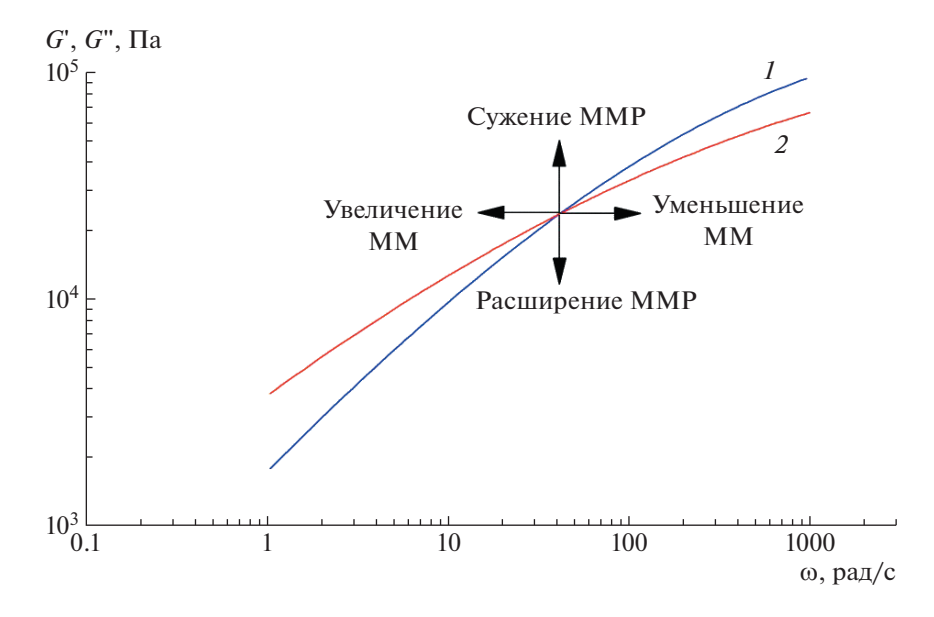


Рис. 1. Принцип сравнения молекулярно-массовых характеристик $\Pi\Pi$ по данным точек равенства их модулей накоплений G'(I) и потерь G''(2).

методом определения ММР и ММ является ГПХ. Только существуют косвенные методы, обеспечивающие быстроту измерения и достаточную точность. В этом отношении реологические измерения получили широкое распространение [9—15]. Несмотря на очевидную важность темы и ее долгую историю, некоторые ключевые вопросы остаются нерешенными, и работа в этой области активно продолжается.

Известны попытки связать молекулярно-массовые характеристики полимеров с их временем релаксации и вязкостью. Так, были выведены зависимости:

$$\tau_{ren} \sim M^{3.4}; \quad \tau_R \sim M^{2.2}, \quad [\eta] = KM^a,$$

Таблица 1. Значения модулей высокоэластичности для образцов изотактического полипропилена с разной средневязкостной молекулярной массой

		-		
Образец	$M_{ m \eta}$ (кг/моль)	ω* (рад/с)	$G' = G'' (\Pi a)$	
P204	2040	0.0365	21533	
P182	1820	0.0336	23 5 5 1	
P174	1740	0.0331	21 546	
P168	1680	0.0928	23626	
P146	1460	0.1405	23694	
P134	1340	0.0489	22320	
P125	1250	0.1542	25359	
P107	1070	0.1354	22561	
P20	200	74.827	20444	

где τ_{rep} — время рептации; M — молекулярная масса; τ_R — время релаксации Рауза; $[\eta]$ — характеристическая вязкость; K, a — коэффициенты, уникальные для каждого полимера [16].

Одними из важных информативных характеристик расплавов полимеров являются их вязкоупругие характеристики, такие как модули накопления (G') и потерь (G''). Однако при оценке молекулярно-массовых характеристик наибольшую ценность представляют значения модуля упругости в точке пересечения частотных зависимостей G' и G'', в которой G' = G''. Эта величина характеризует переход от вязкого течения расплава к вязкоупругому поведению расплава и позволяет судить о ММ полимера или его ММР при сравнении с другими образцами. Большее значение модуля сдвига в данной точке свидетельствует о более узком ММР полимера, а меньшее – о более широком. В свою очередь, пересечение (G' = G'') при меньшей частоте для расплава полимера позволяет заключить, что образец имеет ММ значительнее, чем образцы с пресечением при большей частоте (рис. 1) [17-20]¹. Так, в работе [18] представлена зависимость средневязкостной ММ различных изотактических ПП от величины модуля в точках пересечений G' и G''(табл. 1).

В технологических процессах получения изделий из ПП возникают сдвиговые деформации полимера в очень широком диапазоне частот. Существующие реологические приборы очень часто не позволяют анализировать поведение полимера

¹ Цветные рисунки можно посмотреть в электронной версии журнала.

Образец	ПТР _{2,16} (г/10 мин)	Содержание этиленовых звеньев, %	$T_{\scriptscriptstyle \Pi\Pi}$, °C	Кристалличность, %
	Γ	омополимер пропилен	a	<u> </u>
H-1	25	_	167	47
H-2	3	_	167	48
HB-3	3	_	167	48
	Статистическ	ий сополимер пропиле	на с этиленом	!
R-4	8	2.0	156	38
R-5	6	3.0	153	35
R-6	2	3.0	153	34
R-7	38	3.0	153	35
R-8	60	3.0	153	35
	Блочный с	сополимер пропилена с	этиленом	<u>I</u>
ICP-9	12	9.0	169	43
ICP-10	45	9.0	167	43
ICP-R-11	40	14.0	167	35
ICP-R-12	12	14.0	167	35

14.5

Таблица 2. Основные свойства исследуемых образцов полипропилена

15

в таких условиях. Также для некоторых марок полимера не удается достичь точки пересечения G' = G'' в диапазоне стандартных частот прибора. Для решения этой проблемы часто используется принцип температурно-временной суперпозиции (ТВС), который заключается в измерении реологических параметров, таких как модули потерь и накоплений, в доступном диапазоне частот при разных значениях температуры и приведении их к одному значению [21-24]. Полученная в результате кривая предоставляет расширенную информацию о поведении полимера при конкретной рассматриваемой температуре. Зачастую для приведения различных температурных кривых к одной температуре горизонтального сдвига (сдвига по оси частот) бывает недостаточно, и при изучении полукристаллических полимеров необходимо применять в том числе и вертикальный сдвиг, так как на получаемые данные может влиять изменение степени кристалличности, происходящее с изменением температуры [25]. Также вертикальный сдвиг можно применять и к некоторым смесям полимеров [23].

ICP-R-13

Настоящая работа посвящена реологическим исследованиям полипропилена с различными молекулярно-массовыми характеристиками, а также взаимосвязи между ними и вязкоупругими свойствами полимеров в низкочастотной области, где наблюдается сильная корреляция этих параметров. Отличительной особенностью является применение принципа ТВС при анализе ди-

намических свойств, измеренных в режиме осцилляции. Данный подход позволяет расширить возможности оценки молекулярно-массовых характеристик полимеров с помощью реологии.

167

35

ЭКСПЕРИМЕНТАЛЬНАЯ ЧАСТЬ

В качестве объектов исследования выбрали образцы полукристаллических промышленных марок гомополимеров пропилена, статистических сополимеров пропилена с этиленом и ударопрочных блочных сополимеров пропилена с этиленом.

Показатель текучести расплава (**ПТР**) анализировали при 230°C под нагрузкой в 2.16 кг по ASTM D 1238. Содержание этиленовых звеньев устанавливали методом ИК-спектроскопии.

Молекулярно-массовые характеристики образцов ПП определяли методом ГПХ на приборе "Viskotek HT GPC 350", оснащенном рефрактометрическим и светорассеивающим детекторами. В качестве растворителя использовали 1,2,4-трихлорбензол, температура испытания — 150° C, скорость потока — 1 мл/мин; калибровочный стандарт ПС фирмы "Viskotec".

Реологические исследования выполняли на ротационном реометре "RheoStress 6000" ("Thermo Haake") с рабочим узлом типа плоскость—плоскость (зазор между плоскостями 1 мм) диаметром 20 мм. Частотные зависимости модулей накоплений, модулей потерь и других параметров

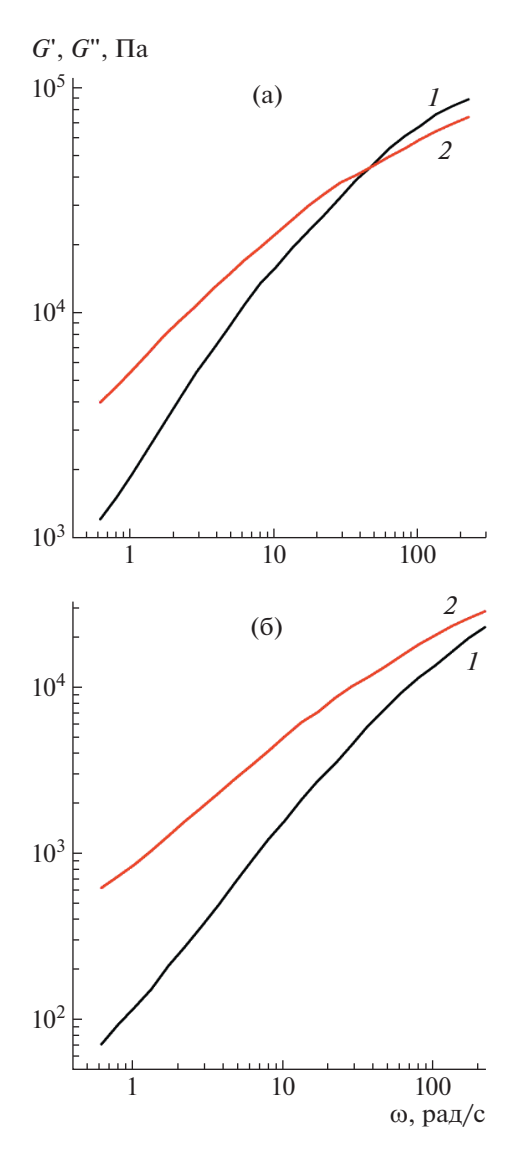


Рис. 2. Графики зависимостей модулей накоплений G'(I) и потерь G''(2) от частоты для образцов R-6 (а) и R-7 (б).

исследованных полимеров устанавливали при температуре от 190 до 230°C в диапазоне частот 0.06-628 рад/с в режиме осцилляции. Амплитуда относительной деформации составляла $\gamma = 0.1-0.5$.

РЕЗУЛЬТАТЫ И ИХ ОБСУЖДЕНИЕ

Для всех исследуемых образцов ПП предварительно были определены основные характеристики: температура плавления, степень кристалличности, количество этиленовых звеньев и показатель текучести расплава (табл. 2).

Перед проведением основных реологических измерений определялась область, в которой деформация полимеров не влияла бы на результаты. Испытания осуществлены в режиме осцилляции

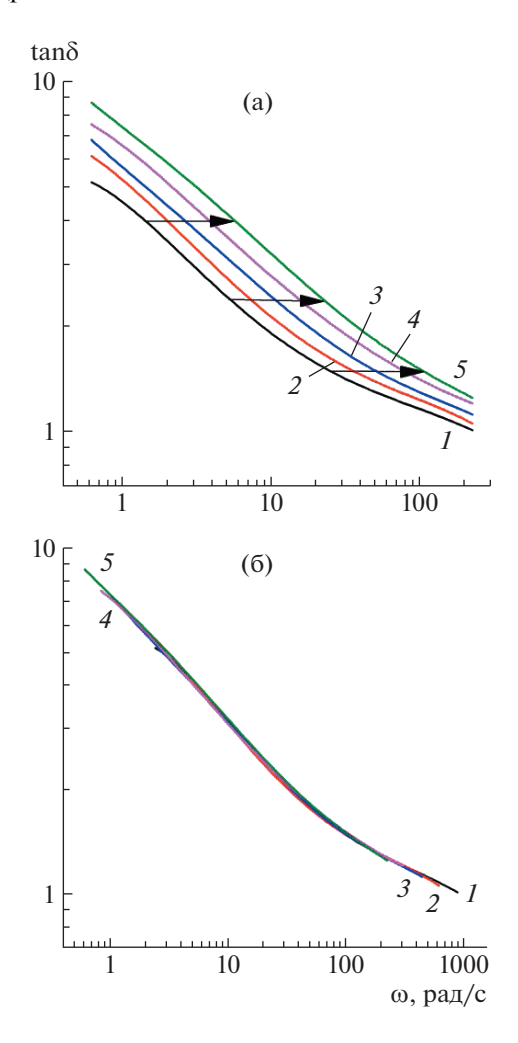


Рис. 3. Горизонтальный сдвиг частотных зависимостей $\tan \delta$ (а) и расширенная кривая $\tan \delta$ (б) при T = 190 (I), 200 (I), 210 (I), 210

при амплитудах деформации 0.01-0.20 рад ($\gamma = 0.1-2.0$) [26], а затем при постоянной амплитуде в найденной области были измерены их динамические модули при 230° С [27, 28]. Так, в качестве рабочей для проводимых исследований определена область деформаций 0.01-0.05 рад ($\gamma = 0.1-0.5$).

В результате измерений частотных зависимостей G' и G'' не удалось получить пересечения G' = G'' для ряда образцов. На рис. 2 представлены результаты измерений для образцов R-6 и R-7. Образцы H-1, R-4, R-7, R-8, ICP-9, ICP-10, ICP-R-11—ICP-R-13 для применения ТВС дополнительно были измерены при разных значениях температуры от 190 до 230°C с шагом в 10°C.

Поскольку все рассматриваемые ПП являются полукристаллическими, для расширения частотного диапазона необходимо применение как горизонтального, так и вертикального сдвига. С

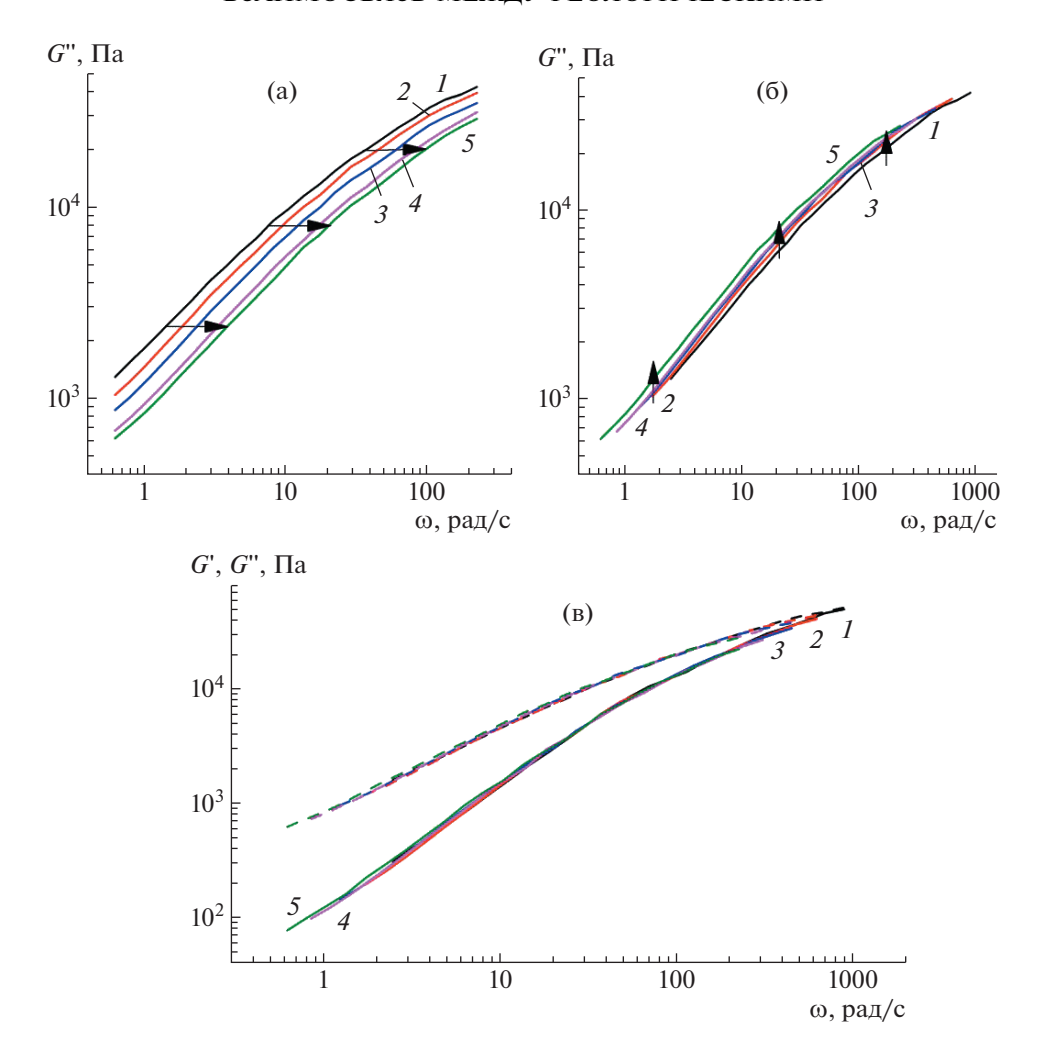


Рис. 4. Горизонтальный (а) и вертикальный (б) сдвиги частотных зависимостей G", а также расширенные кривые G (сплошные линии) и G" (штриховые) (в) при T = 190 (I), 200 (I), 200 (I), 200 (I), 200 (I) и 200°C (I) на примере полимера R-7.

применением принципа ТВС были построены обобщенные зависимости $G'b_t$ (ωa_t) и $G''b_t$ (ωa_t), где a_t — коэффициент приведения по оси частот, b_t — коэффициент вертикального сдвига. Так как область относительно высоких частот считается более труднодоступной, в сравнении с низкими частотами, было решено выполнить приведение к максимальному значению температуры из замеренных, т.е. к 230°C, при этом все еще оставаясь в области зависимости динамического модуля от MM. Коэффициент a_t был установлен путем приведения зависимостей тангенса угла механических потерь (tan δ) к указанной температуре, так как в смещении этого параметра вертикальный сдвиг не участвует, поскольку коэффициент b_t сокрашается:

$$\tan \delta = \frac{b_t G''}{b_t G'}$$

На рис. 3 показан пример приведения $\tan \delta$ путем горизонтального сдвига. Процесс применения ТВС для G' и G'' продемонстрирован на рис. 4. Так, на рис. 4а видно, что происходит горизонтальный сдвиг температурных кривых с использованием ранее найденных через значения тангенса потерь коэффициентов a_i ; на рис. 46 показан вертикальный сдвиг с нахождением коэффициентов b_i ; на рис. 4в продемонстрированы конечные расширенные частотные зависимости компонентов комплексного модуля $G'b_t$ (ωa_t) и $G''b_t$ (ωa_t), а для образца R-7, приведенные к $T=230^{\circ}$ С. Значения коэффициентов горизонтального и вертикального сдвига для образца R-7 показаны на рис. 5.

Помимо расширения частотного диапазона, ТВС может дать информацию о молекулярной структуре, составе полимера и некоторых его свойствах [23, 29—32]. На рис. 4 приведены расширенные частотные зависимости образца ICP-9, полученные принципом ТВС. Однако наложение кривых на данном графике не всегда свидетель-

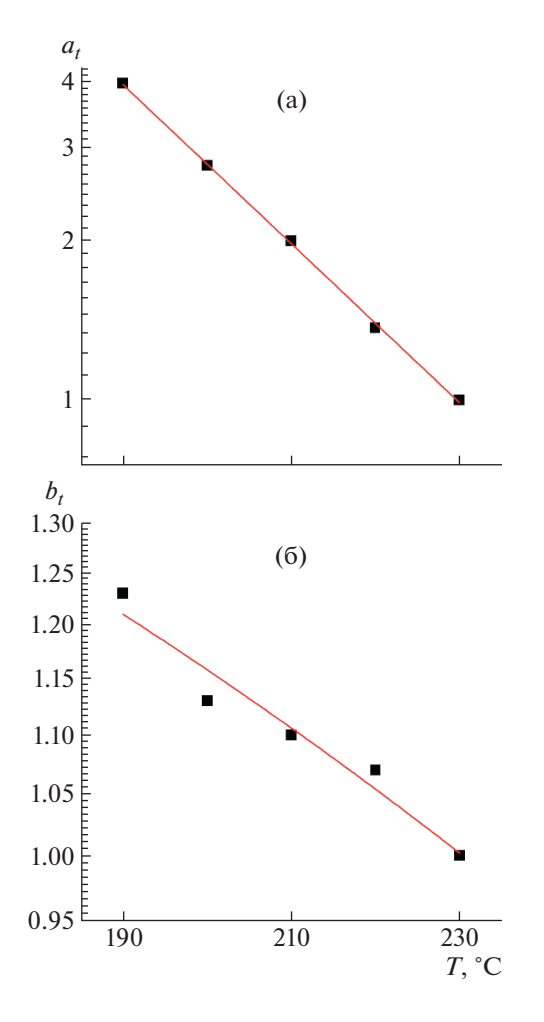


Рис. 5. Значения коэффициентов горизонтального (а) и вертикального (б) сдвига для полимера R-7.

ствует о применяемости ТВС, так как ее принцип может нарушаться ввиду термической нестабильности полимера или в случае, когда полимер является смесью других полимеров с разным реологическим поведением. Кроме того, в разветвленных полимерах на температурную чувствительность реологических свойств влияет ветвление, неоднородное распределение которого может вызвать нарушение принципа ТВС [20].

Учитывая изложенное выше, построен график зависимости $\tan \delta$ от абсолютного значения комплексного модуля $|G^*|$ (рис. 6), устраняющий эффект сдвига по оси частот и позволяющий судить о применяемости принципа ТВС для конкретного полимера. В данном случае образец полипропилена R-7 подходит для применения ТВС, так как на рис. 6 все кривые имеют схожую форму и не расходятся, однако полного их наложения друг на друга не происходит, что свидетельствует о необходимости применения вертикального сдвига.

После того как возможность применения ТВС для выбранных марок ПП была подтверждена,

расширенные частотные зависимости, которые построены ранее, были применены для нахождения модуля упругости в точке, где G' = G''. Полученные данные вместе со стандартными характеристиками ПТР, ММР и ММ сведены в табл. 3. Для удобства анализа образцы в каждой группе распложены в порядке возрастания ММ.

Для некоторых полимеров могут наблюдаться несколько точек пересечения G" и G". Зачастую первая точка пересечения появляется в области низких частот ($\omega < 10^4$ рад/с), тогда как вторая и последующие могут быть обнаружены при частотах 10^4 рад/с и выше [16, 33]. В исследуемом низкочастотном диапазоне повторного пересечения G" и G" не наблюдалось. В настоящей работе рассматривается только первая точка G' = G", отвечающая наименьшей частоте.

Для гомополимеров и статистических сополимеров наблюдается хорошая корреляция результатов определения ММ методом ГПХ с реологическим подходом. С увеличением средневесовой ММ точки пересечений G' = G'' закономерно сдвигаются к меньшим частотам, как и отражено в литературных данных.

Как известно, блок-сополимеры устойчивы к расслоению с выделением отдельных компонентов, однако для них характерно микрофазное разделение, приводящее к образованию нано- и микрообластей, где происходит концентрирование блоков одинакового химического строения [34-36]. В связи с чем применение ТВС для анализа блок-сополимеров осложняется, это демонстрирует рис. 7, где кривые расходятся при частотах выше 100 рад/с. В таких условиях использование ТВС становится затруднительным, из-за чего было решено использовать значения модуля упругости блок-сополимеров при 190°С. Эти данные также были занесены в табл. 3. Как и в предыдущих группах для блок-сополимеров видна хорошая взаимосвязь между ММ и частотой модуля упругости в точке пересечения f^* , т.е. зависимость сдвигается к меньшим частотам при увеличении ММ.

Так как значения ММР в рамках каждой группы не отличаются друг от друга более чем на 0.9, можно полагать, что сравниваемые полимеры имеют одинаковую полидисперсность, из-за чего отпадает необходимость сравнения модулей упругости. К тому же, согласно работе [37], оценка полидисперсности по модулю упругости не всегда справедлива, что может объяснить слабую корреляцию между рассматриваемыми параметрами в сопоставляемых полимерах.

На рис. 8 проведена попытка аппроксимации зависимостей $\omega^*(M_w)$. Гомополимеры аппроксимируются степенной зависимостью $\omega^* \sim M_w^{-5.3}$, в то время как зависимость $\omega^* \sim M_w^{-3.3}$ описывает

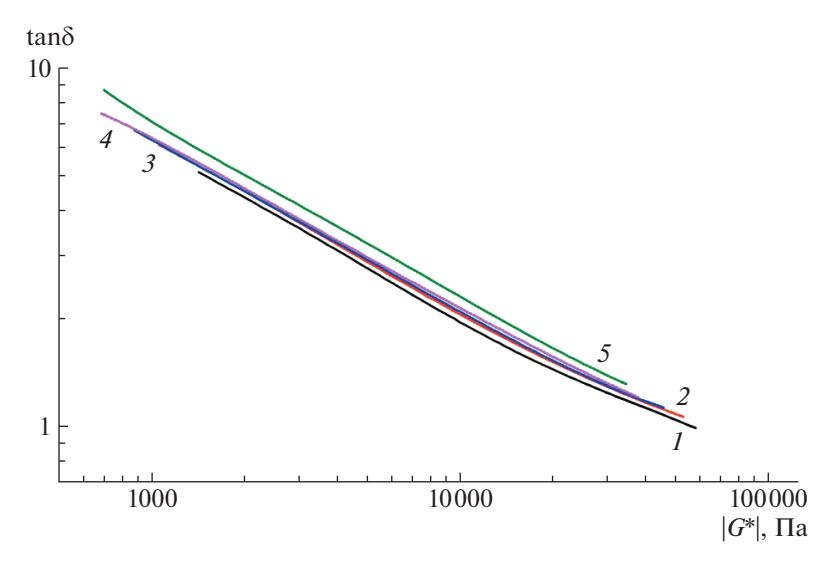


Рис. 6. Зависимости $\tan \delta$ от абсолютного значения комплексного модуля $|G^*|$ для полимера R-7 при T=190 (*I*), 200 (*2*), 210 (*3*), 220 (*4*) и 230° С (*5*).

данные статистических сополимеров при 230°С. Для более полного сравнения проведены испытания при 190°С. Для оставшихся образцов ПП также найдены точки пересечения G' и G''. Новые данные были аппроксимированы. Полученные зависимости описываются звисимостями $\omega^* \sim M_w^{-5.6}$ для гомополимеров, $\omega^* \sim M_w^{-3.1}$ для статистических сополимеров и $\omega^* \sim M_w^{-1.9}$ для блок-сополимеров.

Из полученных значений коэффициентов и рис. 8, 9 видно, что форма кривых почти не меняется при изменении температуры. Однако заметно уменьшение абсолютного значения степенного коэффициента с увеличением доли этиленовых звеньев в группе ПП. Для гомополимеров, не содержащих этиленовых звеньев, этот коэффициент максимален, в то время как для блочных сополимеров, содержащих 9.0—14.5% этиленовых звеньев, он минимален.

Таблица 3. Реологические измерения и основные характеристики исследуемых образцов полипропилена

Образец	ПТР (г/10 мин)	Содержание этиленовых звеньев, %	$M_n \times 10^{-3}$ (г/моль)	$M_{\scriptscriptstyle W}$ (кг/моль)	M_y^3 (кг/моль)	Đ	G' = G'' (Па)	ω* (рад/с)		
Гомополимеры пропилена										
H-1	25		49	225	675	4.6	34328	1755		
H-2	3	_	85	435	1300	5.1	31 510	68		
HB-3	3	_	80	440	1350	5.5	23 23 3	38		
Статистические сополимеры пропилена с этиленом										
R-8	60	3.0	35	170	500	4.8	57419	1631		
R-7	40	3.0	40	195	580	4.9	47 526	997		
R-4	8	2.0	73	320	960	4.4	44477	213		
R-5	6	3.0	86	360	1050	4.2	40678	152		
R-6	2	3.0	133	535	1340	4.0	44349	49		
Блочные сополимеры пропилена с этиленом										
ICP-10	38	9.0	40	190	570	4.7	29072	359		
ICP-R-13	15	14.5	50	265	800	5.3	55203	247		
ICP-9	12	9.0	64	280	840	4.4	35481	220		
ICP-R-12	12	14.0	55	290	870	5.3	57506	121		
ICP-R-11	4	14.0	84	395	990	4.7	39369	46		

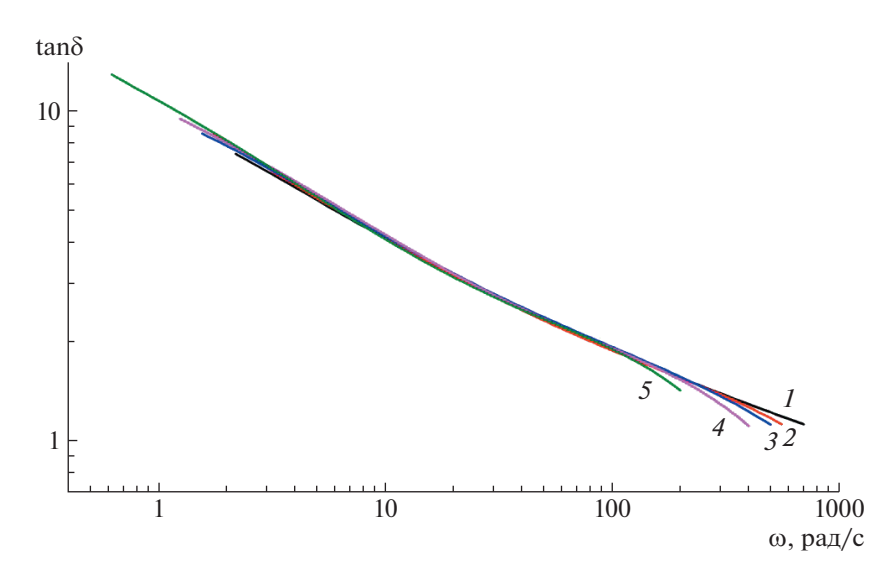


Рис. 7. Частотная зависимость тангенса угла механических потерь для полимера ICP-10 при T = 190 (1), 200 (2), 210 (3), 220 (4) и 230°C (5).

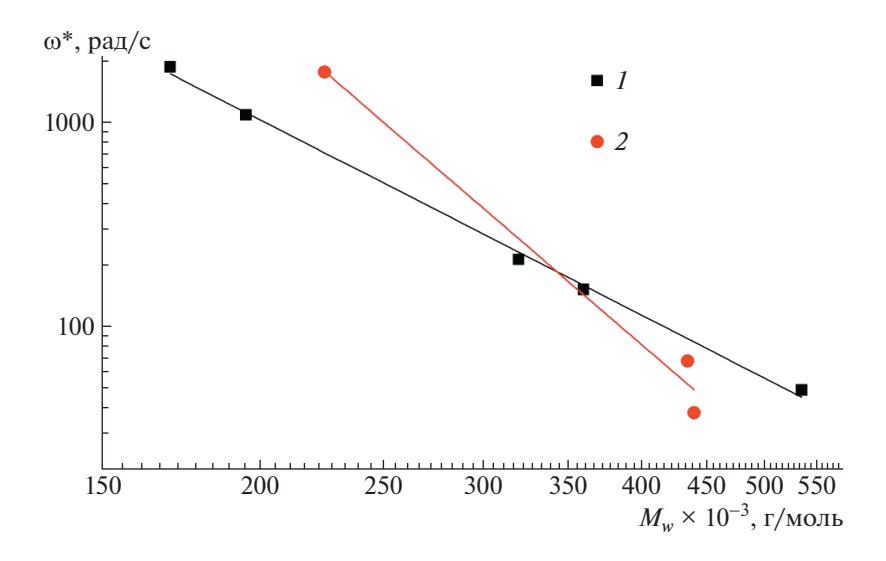


Рис. 8. Зависимость угловой частоты модуля высокоэластичности ω^* от средневесовой молекулярной массы M_w при $T=230^{\circ}\mathrm{C}$: I — статистические сополимеры, 2 — гомополимеры.

Также был проанализирован наклон кривых $\log(\omega^*)(\log(M_w))$ (рис. 9). Согласно результатам аппроксимации, гомополимеры квалифицируются значениями: тангенс угла наклона -5.6, статистические сополимеры -3.6 и блок-сополимеры -2.8. Так как уменьшение ω^* характеризует увеличение времени релаксации [20], то с ростом ММ гомополимеров происходит более резкое увеличение времени релаксации, в отличие от блок-сополимеров, для которых с ростом средней массы молекулы время релаксации изменяется меньше чем у других групп. Скорее всего, это связано со склонностью блочных сополимеров к образованию связей между одинаковыми блоками, что выливается в более прочную взаимосвязь

между структурными элементами и, соответственно, меньшее влияние длины молекулы на время релаксации. Подобный эффект частично может присутствовать и в статистических сополимерах, в то время как в гомополимерах структурные элементы могут быть связаны только переплетением макромолекул, что и приводит к сильной взаимосвязи между временем релаксации и длиной молекулы.

ЗАКЛЮЧЕНИЕ

В результате исследований реологических, молекулярных и термических свойств полипропилена разной ММ и молекулярно-массовых харак-

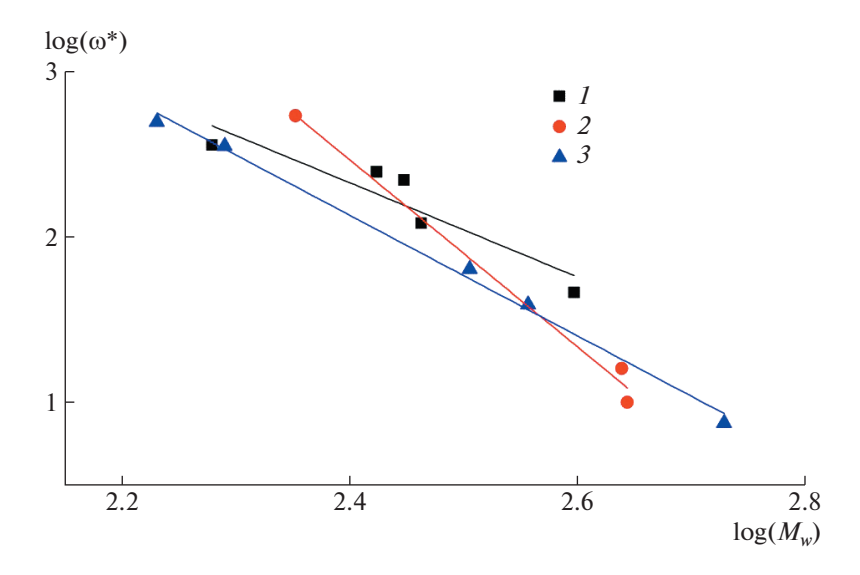


Рис. 9. Линейная аппроксимация десятичных логарифмов ω^* и M_w при T=190°C: I- блок-сополимеры, 2- гомополимеры, 3- статистические сополимеры.

теристик была установлена и проанализирована взаимосвязь реологических характеристик, полученных в режиме осцилляции (иногда с применением принципа ТВС) с молекулярно-массовыми характеристиками, полученными прямым метолом ГПХ.

Дальнейшее развитие применения данного подхода при наработке базы данных и с использованием математической обработки экспериментальных данных позволит быстро и точно определять молекулярно-массовые характеристики в достаточно широком диапазоне в процессе разработки новых марок полипропиленов различного назначения.

Работа выполнена за счет средств Программы стратегического академического лидерства Казанского (Приволжского) федерального университета.

КОНФЛИКТ ИНТЕРЕСОВ

Авторы заявляют об отсутствии конфликта интересов.

СПИСОК ЛИТЕРАТУРЫ

- 1. *Tuminello W.H.* // Polym. Eng. Sci. 1986. V. 26. № 19. P. 1339.
- Shroff R., Mavridis H. // J. Appl. Polym. Sci. 1995.
 V. 57. № 13. P. 1605.
- 3. Ahirwal D., Filipe S., Neuhaus I., Busch M., Schlatter G., Wilhelm M. // J. Rheology. 2014. V. 58. № 3. P. 635.
- 4. *Zhou Z., Zhang Y., Zhang Y., Yin N.* // J. Polym. Sci., Polym. Phys. 2008. V. 46. № 5. P. 526.
- Hostetter M., Hibbard G.D. // J. Appl. Polym. Sci. 2014.
 V. 131. № 7. P. 40074.

- 6. *Jørgensen J.K., Stori A., Redford K.* // Polymer. 2005. V. 46. № 26. P. 12256.
- 7. *Wang H.-T., Jiang H.-Q., Shen R.-F., Ding X.-J., Zhang C., Li L.-F., Li J.-Y.* // Nuclear Sci. Techniques. 2018. V. 29. № 6. P. 1.
- 8. *He G.-J., Yuan B.-Y., Zheng T.-T., Zhu W.-l., Yin X.-C.* // RSC Advances. 2017. V. 7. № 36. P. 22531.
- 9. *Azizi H., Ghasemi I., Karrabi M.* // Polym. Testing. 2008. V. 27. № 5. P. 548.
- 10. Amintowlieh Y., Tzoganakis C., Hatzikiriakos S.G., Penlidis A. // Polym. Degrad. Stab. 2014. V. 104. P. 1.
- 11. *Vega J., Martinez-Salazar J.* // Polym. Bull. 2003. V. 50. № 3. P. 197.
- 12. *Das C.*, *Read D.J.*, *Soulages J.M.*, *Shirodkar P.P.* // Macromolecules. 2014. V. 47. № 16. P. 5860.
- 13. *Pandey A., Champouret Y., Rastogi S.* // Macromolecules. 2011. V. 44. № 12. P. 4952.
- 14. *Auhl D., Stadler F.J., Münstedt H.* // Rheol. Acta. 2012. V. 51. № 11. P. 979.
- 15. Stanic S., Koch T., Schmid K., Knaus S., Archodoulaki V.-M. // Polymers. 2021. V. 13. № 7. P. 1137.
- 16. *Rubinstein M., Colby R.H.* Polymer Physics. New York: Oxford University Press, 2003.
- 17. *Garcia P.S., Scuracchio C.H., Cruz S.A.* // Polym. Test. 2013. V. 32. № 7. P. 1237.
- 18. Niu H., Wang Y., Liu X., Wang Y., Li Y. // Polym. Test. 2017. V. 60. P. 260.
- 19. Romano D., Ronca S., Rastogi S. // Macromol. Rapid Commun. 2015. V. 36. № 3. P. 327.
- 20. *Jahani Y., Ghetmiri M., Vaseghi M.R.* // RSC Advances. 2015. V. 5. № 28. P. 21620.
- 21. *Dealy J.M.*, *Read D.J.*, *Larson R.G.* Structure and Rheology of Molten Polymers: from Structure to Flow Behavior and Back Again. Munich: Carl Hanser Verlag GmbH Co KG, 2018.
- 22. Den Doelder C.F.J. // Progress in Industrial Mathematics at ECMI 2000. New York: Springer, 2002. P. 420.

- Van Gurp M., Palmen J. // Rheol. Bull. 1998. V. 67.
 № 1. P. 5.
- Han C.D. // Rheology and Processing of Polymeric Materials. Oxford University Press on Demand, 2007. V. 1.
- 25. *Tajvidi M., Falk R.H., Hermanson J.C.* // J. Appl. Polym. Sci. 2005. V. 97. № 5. P. 1995.
- Deshpande A. // Ind. Inst. Technol. Madras. F. 2009.
 V. 23. P. 1.
- 27. Sangroniz L., Cavallo D., Santamaria A., Muller A.J., Alamo R.G. // Macromolecules. 2017. V. 50. № 2. P. 642.
- 28. Mitsoulis E., Luger H.-J., Miethlinger J., Friesenbichler W. // Int. Polym. Proc. 2018. V. 33. № 5. P. 642.
- 29. McCallum T.J., Kontopoulou M., Park C.B., Muliawan E.B., Hatzikiriakos S.G. // Polym. Eng. Sci. 2007. V. 47. № 7. P. 1133.
- 30. *Ardakani F., Jahani Y., Morshedian J.* // Polym. Eng. Sci. 2014. V. 54. № 8. P. 1747.

- 31. *Pantani R., Speranza V., Titomanlio G. //* Macromol. Theory Simulat. 2014. V. 23. № 4. P. 300.
- 32. *Tabatabaei S.H., Carreau P.J., Ajji A.* // Chem. Eng. Sci. 2009. V. 64. № 22. P. 4719.
- 33. Ferry J.D. Viscoelastic Properties of Polymers. New York: Wiley, 1980.
- 34. *Ozin G.A.*, *Arsenault A.* Nanochemistry: a Chemical Approach to Nanomaterials. London: RSC Publ., 2015.
- 35. Zulli F., Andreozzi L., Passaglia E., Augier S., Giordano M. // J. Appl. Polym. Sci. 2013. V. 127. № 2. P. 1423.
- 36. Park H.E., Dealy J.M., Marchand G.R., Wang J., Li S., Register R.A. // Macromolecules. 2010. V. 43. № 16. P. 6789.
- 37. *Bafna S.S.* // J. Appl. Polym. Sci. 1997. V. 63. № 1. P. 111.